

بررسی ناپایداری و شکل الگوهای جریان سلولی مسئله ریلی - بنارد

محمدجواد وفایی رستمی^۱, سینا حاجی طاهری^۲ و احمد صداقت^۳

دانشکده مهندسی مکانیک، دانشگاه صنعتی اصفهان

E-mail: (Sedaghat@cc.iut.ac.ir)

چکیده

در بسیاری از پروسه‌های صنعتی، انتقال حرارت از یک لایه سیال و ناپایداری حرکتی سیال در طراحی پروسه و کیفیت فرایند حائز اهمیت است. مسئله ناپایداری لایه ای از سیال که از زیر حرارت می‌بیند به مسئله ریلی-بنارد معروف است. در بررسی‌های اولیه عامل اصلی ناپایداری نیروی شناوری ذرات گرم بالا رونده و نیروی گرانش ذرات سرددتر پائین رونده تشخیص داده شدند. ولی آزمایشات بعدی توسط ماراگونی برای لایه‌های نازکی از سیال، عامل اصلی ناپایداری را گردایان در کشش سطحی دانست. در این مقاله، ابتدا معادلات ناویر استوکس با استفاده از تخمین بوزینسک، ساده شده و سپس معادلات خطی شده پایداری، بدست می‌آیند. با تعریف مودهای نرمال و اعمال شرایط مرزی برای حالت‌های دو مرز آزاد، دو مرز صلب، و یک مرز آزاد-یک مرز صلب، جوابهای معادلات پایداری بدست آمدند و عدد موج بی بعد بحرانی و عدد ریلی بحرانی، دقیقاً محاسبه شدند. نمودارهای عدد ریلی بر حسب عدد موج بی بعد و الگوهای جریان سلولی بررسی شده و با یافته‌های تجربی مقایسه شده اند.

واژه‌های کلیدی: ناپایداری هیدرودینامیکی - مسئله ریلی - بنارد - جریانهای سلولی.

ماراگونی (Marangoni) در سال ۱۹۶۰ گونه دیگری از آزمایشات را برای لایه نازکی از سیال انجام داد و مشاهده کرد که مکانیزم دیگری ناشی از گردایان در برش سطحی باعث ناپایداری می‌شود^[۳]. بعدها روشن شد که اکثر یافته‌های بنارد ناشی از مکانیزم ناپایداری از نوع اخیر بوده است. از طرفی وی دریافت که ناپایداری ناشی از برش سطحی با خاصیت لایه سیال متناسب بوده و هرچه لایه سیال ضخیم‌تر شود، ناپایداری ناشی از برش سطحی کاهش می‌یابد. در سالهای اخیر نیز گانتون (Gunton) و دیگران با استفاده از سوپر کامپیوترها توانستند جابجایی ریلی-بنارد را شبیه سازی کنند و به کمک آن الگوهای بی نظمی غیر قابل پیش‌بینی را آشکار سازند [۴، ۷].

مقدمه

موضوع انتقال حرارت جابجایی اولین بار توسط تامسون (Thompson) در سال ۱۷۹۰ با بررسی انتقال حرارت از کلوچه سیبی مطرح شد^[۱]. در سال ۱۹۰۰ بررسی‌های سیستماتیکی برای حالتی که سیال از زیر توسط سطح صلبی گرم می‌شد و در بالا در معرض هوا قرار داشت، توسط بنارد صورت گرفت که در این حالت مورد بررسی، سطح بالایی سیال برای حرکت و تغییر شکل سیال می‌توانست آزادانه عمل کند^[۲].

ریلی (Rayleigh) در سال ۱۹۱۶ تئوری اش را برای شرایط ناپایداری در حالت دو سطح صلب ارائه کرد^[۲]. او نشان داد که ناپایداری وقتی رخ می‌دهد که $\beta = -dT/dZ$ به اندازه کافی بزرگ شود و بر مبنای آن عدد بی بعد ریلی (R_a) را تعریف کرد.

^۱ دانشجوی کارشناسی ارشد

^۲ دانشجوی کارشناسی ارشد

^۳ استادیار

بنارد خیلی علاقمند بود تا شکل گیری فاز دوم را همراه با حرکتهای متناظر با آن مشاهده کند، اما ضعف او این بود که نسبت به شرایط لازم برای شروع ناپایداری آگاهی کافی نداشت. همچنین بنارد در مقالات اولیه اش، بیشتر به مساله تنش برشی سطحی توجه می‌کرد.

الگوهای جابجایی

الگوهای جابجایی مشاهده شده در توپوگرافی جابجایی، رولهای موازی و شش وجهی‌ها هستند (شکل ۲). پارامترهای اولیه سیال و نوع آن، نمونه الگوی تشکیل شده را تعیین می‌کند. این الگوها پایدار بوده و دچار هیچ بی‌نظمی و هرج و مرجی نیز نیستند. این اشکال برای همیشه ساختار خود را حفظ می‌کنند (اگر تحت یک دمای ثابت نگهداشته شوند).

الگوهای حلزونی بی‌نظمی

اخیراً گانتون و همکارانشان [۴] با استفاده از سوپر کامپیوتر Cray-C90 شروع جابجایی را از حالت اولیه (سکون سیال) بصورت یک الگوی ملون از حلزونی‌های موضعی نشان دادند (شکل ۳). حلزونی‌ها نه تنها می‌چرخند، بلکه به سمت پیرامون سیال حرکت کرده و با برخورد همیگر را حذف می‌کنند و در اندازه و تعداد متفاوت تشکیل می‌شوند. بعضی از اجزاء سیال سریعتر از بقیه، بالا و پایین می‌روند. سرعت‌ها و دمایها و بطور کلی هر کمیتی در سیستم به طریقی غیر قابل پیش‌بینی تغییر می‌کند.

معادلات حرکت

سیال به ضخامت d که دارای بعد افقی بینهایت است را در نظر بگیرید. دما در بالا T_u و در پایین لایه T_b می‌باشد.

معادلات حرکت به شکل تانسور عبارتند از:

- معادله پیوستگی

$$\frac{\partial \rho}{\partial t} + \frac{\partial}{\partial x_j} (\rho u_j) = 0 \quad (1)$$

که ρ دانسته سیال، $x_j = (x, y, z)$ و $u_j = (u, v, w)$ است.

طبیعت مسئله

مسئله جابجایی ریلی-بنارد، بررسی ناپایداری یک لایه از سیال می‌باشد که بین دو صفحه رسانای گرمایی، قرار گرفته و از زیر گرم می‌شود تا یک گرادیان دمای ثابت تولید شود. بدلیل آنکه مایعات دارای ضربی انبساط حرارتی مثبت می‌باشند، گرادیان دمای عمودی باعث ایجاد گرادیان چگالی می‌شود و مایع داغ در لایه‌های زیرین منبسط شده و نیروی شناوری، عامل ناپایدار کننده‌ی می‌گردد. همچنین سیال سردر (و سنگین تر) تحت انرژی گرانشی به سمت پایین حرکت در می‌آید. از طرفی لزجت سیال، رفتار آنرا برای گرادیان‌های کوچک دما پایدار کرده و آنرا در حالت سکون نگه می‌دارد. بنابراین نحوه انتقال حرارت در سیستم بصورت هدایت خواهد بود. به عبارت دیگر، در صورتی که گرادیان چگالی به اندازه کافی بزرگ باشد، سیال حرکت خواهد کرد.

بنارد آزمایش‌های خود را بر روی لایه‌های بسیار نازک از سیال به عمق حدود یک میلی متر و یا کمتر که روی یک صفحه فلزی که در وضعیت تراز قرار داشت، انجام داد. صفحه فلزی در یک دمای ثابت نگهداشته می‌شد. سطح بالا آزاد و در تماس با هوای با دمای پائین تر (محیط) بود (شکل ۱). بنارد آزمایش‌های خود را با مایعات مختلف که خواص فیزیکی متفاوتی داشتند، انجام داد. در ضمن، او قصد داشت تا نقش لزجت را نیز بدقت بررسی کند. بنابراین از مایعات با لزجت بالا مانند پارافین و روغن زمانیکه دمای سطح پایین به کنده افزایش می‌یابد، در یک لحظه مشخص، لایه سیال پاره شده و شبکه‌های سلولی تشکیل می‌شوند. همچنین او مشاهده کرد که حرکتهای داخل سلولها، بصورت صعود در مرکز و نزول در مرزها با سلول‌های مجاور صورت می‌گیرد.

بنارد دو فاز را در توسعه الگوهای سلولی تشخیص داد [۵]:

- **فاز اولیه:** در فاصله کوتاهی، سلولها به درجه مناسبی از نظم می‌رسند و شکل چند گوشه‌های مقعر ۴ تا ۶ وجهی با دیوارهای عمودی را پیدا می‌کنند.
- **فاز ثانویه:** سلولها به شکل شش وجهی‌های هم اندازه و بطور منظم تشکیل شده و در مدت زمان نسبتاً طولانی باقی می‌مانند.

$$\frac{|\delta\rho|}{\rho_b} = \frac{|\rho - \rho_b|}{\rho_b} = \alpha |T - T_b| \ll 1 \quad (7)$$

اما ترم شناوری $g(\rho - \rho_b)$ در معادله ممنتوم، غیر قابل اغماض است. از آنجاییکه تغییرات چگالی از مرتبه α بوده که دارای مقدار کوچکی است، معادله پیوستگی به معادله پیوستگی برای جریان تراکم ناپذیر تبدیل می‌شود:

$$\frac{\partial u_j}{\partial x_j} = 0 \quad (8)$$

در نتیجه تانسور تنش به شکل زیر ساده می‌شود:

$$\tau_{ij} = -p\delta_{ij} + \mu \left[\frac{\partial u_i}{\partial x_j} + \frac{\partial u_j}{\partial x_i} \right] \quad (9)$$

و معادله مomentum به شکل زیر خلاصه می‌شود:

$$\begin{aligned} \rho \left(\frac{\partial u_i}{\partial t} + u_j \frac{\partial u_i}{\partial x_j} \right) &= -g\rho_b [1 - \alpha(T - T_b)]\delta_{i3} \\ &\quad - \frac{\partial p}{\partial x_i} + \mu \Delta u_i \end{aligned} \quad (10)$$

که با استفاده از تخمین بوزینسک داریم:

$$\begin{aligned} \frac{\partial u_i}{\partial t} + u_j \frac{\partial u_i}{\partial x_j} &= -\frac{\partial}{\partial x_i} \left(\frac{p}{\rho_b} + gz \right) \\ &\quad - \alpha g(T - T_b)\delta_{i3} + \nu \Delta u_i \end{aligned} \quad (11)$$

که $\Delta = \partial^2 / \partial x_j^2$ اپراتور لاپلاسین است.

در معادله انرژی (۴)، با فرض ثابت بودن c_v و k و با صرفنظر کردن از ترم $-p \operatorname{div} u$ و با توجه به معادله پیوستگی، ترم دوم استهلاک لرجی Φ در معادله (۵) حذف می‌شود. علاوه بر این به کمک معادله Momentum و معادله (۶) می‌توان نشان داد که سرعتها از مرتبه $[\alpha \Delta T |X| d]^{1/2}$ بوده و بنابراین استهلاک لرجی Φ از مرتبه d/k و قابل صرفنظر کردن است. تحت این شرایط معادله انرژی به شکل زیر ساده می‌شود:

$$\frac{\partial T}{\partial t} + u_j \frac{\partial T}{\partial x_j} = \kappa \Delta T \quad (12)$$

که برای گاز کامل $\kappa = k / \rho_b c_p$ و برای مایعات $\kappa = k / \rho_b c_v$ است.

- معادله مomentum

$$\rho \left(\frac{\partial u_i}{\partial t} + u_j \frac{\partial u_i}{\partial x_j} \right) = -g\rho\delta_{i3} + \frac{\partial \tau_{ij}}{\partial x_j} \quad (2)$$

که تانسور تنش τ_{ij} عبارتست از:

$$\tau_{ij} = -p\delta_{ij} + \mu \left[\frac{\partial u_i}{\partial x_j} + \frac{\partial u_j}{\partial x_i} - \frac{2}{3} \frac{\partial u_k}{\partial x_k} \delta_{ij} \right] \quad (3)$$

و μ لزجت سیال و p فشار ترمودینامیکی است.

- معادله انرژی

$$\begin{aligned} \rho \left(\frac{\partial}{\partial t} (c_v T) + u_j \frac{\partial}{\partial x_j} (c_v T) \right) &= \\ \frac{\partial}{\partial x_j} \left(k \frac{\partial T}{\partial x_j} \right) - p \frac{\partial u_k}{\partial x_k} + \Phi & \end{aligned} \quad (4)$$

که c_v گرمای ویژه در حجم ثابت است. همچنین k ضریب هدایت حرارتی و T دما می‌باشد. از طرفی ترم استهلاکی لرجی Φ عبارت است از:

$$\Phi = \frac{\mu}{2} \left[\frac{\partial u_i}{\partial x_j} + \frac{\partial u_j}{\partial x_i} \right]^2 - \frac{2}{3} \mu \left[\frac{\partial u_k}{\partial x_k} \right]^2 \quad (5)$$

تخمین بوزینسک

بوزینسک، برای جریانهایی که گرادیان دمای کوچکی دارند و در نتیجه دارای تغییرات چگالی ناچیز نسبت به دما هستند، چگالی را در همه جا ثابت فرض کرد (یعنی در ترم شناوری). اگر ρ_b چگالی سیال در لایه زیرین و در دمای T_b باشد، آنگاه برای اختلاف دمای کوچک بین لایه بالا و لایه پایین سیال داریم:

$$\rho = \rho_b [1 - \alpha(T - T_b)] \quad (6)$$

که α ثابت انبساط حجمی است. برای مایعات، α در رنج 10^{-4} تا 10^{-3} می‌باشد. در نتیجه برای یک تغییر دمای کوچک:

که R_a و P_r اعداد بدون بعد ریلی و پرانتل هستند و به صورت زیر تعریف می‌شوند:

$$R_a = \frac{g \alpha \beta d^4}{\kappa V}, P_r = \frac{\nu}{k} \quad (18)$$

با حذف ترم فشار از معادلات (۱۷) به دو معادله زیر برای سرعت قائم w' و دما θ' می‌رسیم:

$$\begin{aligned} \left(\frac{1}{P_r} \frac{\partial}{\partial t} - \Delta \right) \Delta w' &= R_a \Delta_1 \theta' \\ \left(\frac{\partial}{\partial t} - \Delta \right) \theta' &= w' \end{aligned} \quad (19)$$

که $\Delta_1 = \frac{\partial^2}{\partial x^2} + \frac{\partial^2}{\partial y^2}$ لابلائسین افقی است. با حذف θ' از معادلات فوق به معادله زیر برای مولفه سرعت قائم می‌رسیم:

$$\left(\frac{\partial}{\partial t} - \Delta \right) \left(\frac{1}{P_r} \frac{\partial}{\partial t} - \Delta \right) \Delta w' = R_a \Delta_1 w' \quad (20)$$

اگر w' را از معادله (۱۹) حذف کنیم، به معادله‌ای مشابه فوق برای θ' می‌رسیم.

مودهای نرمال

ریلی، مودهای نرمال را به شکل زیر برای تحلیل پایداری معرفی کرد:

$$\begin{aligned} w'(x, y, z, t) &= W(z) f(x, y) e^{\sigma t} \\ \theta'(x, y, z, t) &= \Theta(z) f(x, y) e^{\sigma t} \end{aligned} \quad (21)$$

با توجه به این نکته که تابع شکل $f(x, y)$ باید معادله زیر را ارضاء کند:

$$\Delta f + a^2 f = 0 \quad (22)$$

که a عدد موج افقی نامیده می‌شود و با جایگذاری عبارات (۲۱) در معادلات ترمehای اختلالی (۱۹) و (۲۰) به ترتیب داریم:

$$\begin{aligned} (D^2 - a^2 - \sigma) \Theta &= -W \\ (D^2 - a^2) \left(D^2 - a^2 - \frac{\sigma}{P_r} \right) W &= a^2 R_a \Theta \end{aligned} \quad (23)$$

جريان اوليه (بدون اختلال)

در حالت اولیه پایدار سیال، $U_0 = 0$ و توزیع فشار $P_0(z)$ و توزیع دما $T_0(z)$ می‌باشند و از معادلات انرژی و ممنتوم داریم:

$$\begin{aligned} \frac{d^2 T_0}{d^2 z} &= 0 \\ \frac{d}{dz} \left(\frac{P_0}{\rho_b} + gz \right) - \alpha g (T_0 - T_b) &= 0 \end{aligned} \quad (13)$$

که از حل معادلات فوق خواهیم داشت::

$$\begin{aligned} U_0 &= 0 \\ T_0(z) &= T_b - \beta z \\ P_0(z) &= p_b - g \rho_b (z + \alpha \beta z^2 / 2) \end{aligned} \quad (14)$$

که $\beta = (T_b - T_w) / d$ گرادیان دمای مبنا می‌باشد.

معادلات خطی شده پایداری

برای بررسی پایداری، ترمehای اختلالی زیر در معادلات حرکت بوزینسک جایگذاری می‌شوند:

$$\begin{aligned} u &= \varepsilon u'(x, y, z, t) \\ T &= T_0(z) + \varepsilon \theta'(x, y, z, t) \\ p &= P_0(z) + \varepsilon p'(x, y, z, t) \end{aligned} \quad (15)$$

که $\varepsilon \ll 1$ ثابت اختلالی بوده و با صرفنظر کردن از ترمehای اختلالی مرتبه ۲ و بالاتر در معادلات حرکت، به معادلات خطی شده زیر می‌رسیم:

$$\begin{aligned} \nabla \cdot u' &= 0 \\ \frac{\partial u'}{\partial t} - \frac{1}{\rho_b} \nabla p' + \alpha g \theta' \hat{k} + v \Delta u' &= 0 \\ \frac{\partial \theta'}{\partial t} - \beta w' &= \kappa \Delta \theta' \end{aligned} \quad (16)$$

معادلات فوق بصورت بدون بعد زیر ساده می‌شوند:
 $\nabla \cdot u' = 0$

$$\begin{aligned} \frac{\partial u'}{\partial t} - \nabla p' + R_a P_r \theta' \hat{k} + P_r \Delta u' &= 0 \\ \frac{\partial \theta'}{\partial t} - w' &= \Delta \theta' \end{aligned} \quad (17)$$

عدد ریلی بحرانی R_{ac} از رابطه فوق و برای کمترین مقدار $n = 1$ بدست می‌آید. عدد موج بحرانی با صفر قرار دادن $dR_a/d\lambda^2$ برابر $a_c = \pi/\sqrt{2}$ بدست می‌آید که با $R_{ac} = \frac{2}{4}\pi^4$ جایگذاری در رابطه (۲۹) مقدار ریلی بحرانی حاصل می‌شود.

مرزهای صلب - صلب

در این حالت از مستله، با در نظر گرفتن معادله (۲۷) شرط مرزی (۲۶) به صورت زیر تبدیل می‌شود:

$$W = DW = (D^2 - a^2)^3 W = 0 \quad (\text{rigid}) \quad (30)$$

در این شرایط جواب دو حالت مجزا می‌تواند داشته باشد: (۱) مود زوج - سرعت عمودی نسبت به صفحه وسط، تقارن دارد و (۲) مود فرد - سرعت عمودی غیر متقارن است. برای مود زوج، یک ردیف از سلولها در امتداد عمودی تشکیل می‌شوند در حالیکه برای مود فرد، دو ردیف از سلولها در امتداد عمودی شکل می‌گیرند. همچنین به دلیل وجود تقارن، محور ζ ها را به مرکز لایه منتقل می‌کنیم. جواب (۲۷) با استفاده از شرایط مرزی (۳۰) به شکل کلی

$$W = e^{\pm qz}, \quad (z = \pm \frac{1}{2}) \quad (31)$$

در نظر گرفته می‌شود که با جایگذاری در (۲۷)، معادله ای برای ریشه‌های q به صورت زیر بدست می‌آید:

$$(q^2 - a^2)^3 = -a^2 R_a \quad (32)$$

و با در نظر گرفتن $a^2 R_a = \lambda^3 a^6$ ، جواب ریشه‌های معادله فوق عبارتند از:

$$q^2 = a^2 \left[1 + \frac{1}{2} \lambda \left(1 \pm i\sqrt{3} \right) \right] \quad (33)$$

بنابراین کل ریشه‌ها $\pm q_0, \pm q, \pm q^*$ به شکل زیر خواهند بود:

$$q_0 = a\sqrt{\lambda - 1}$$

$$q_1 = \operatorname{Re}(q) = \left[\frac{1}{2} \sqrt{1 + \lambda + \lambda^2 + \frac{1}{2}(1 + \frac{1}{2}\lambda)} \right]^{\frac{1}{2}} \quad (34)$$

$$q_2 = \operatorname{Im}(q) = a \left[\frac{1}{2} \sqrt{1 + \lambda + \lambda^2 - \frac{1}{2}(1 + \frac{1}{2}\lambda)} \right]^{\frac{1}{2}}$$

و q^* مزدوج مختلط q است. بر حسب مقادیر ریشه‌ها، جواب معادله اختلالی به دو صورت جوابهای زوج و جوابهای فرد خواهند بود که در زیر تشریح می‌شوند.

$$\begin{aligned} & (D^2 - a^2)(D^2 - a^2 - \sigma) \\ & \left(D^2 - a^2 - \frac{\sigma}{P_r} \right) W = -a^2 R_a W \end{aligned} \quad (24)$$

که $D = d/dz$ است.

شرایط مرزی زیر برای حل معادلات (۲۳) در $(z = 0, 1)$ اعمال می‌شوند:

$$W = DW = \Theta = 0 \quad (\text{rigid}) \quad (25)$$

$$W = D^2 W = \Theta = 0 \quad (\text{free})$$

برای معادله (۲۴) شرایط مرزی به صورت زیر نوشته می‌شوند:

$$W = DW = D^4 W - \left(2a^2 + \frac{\sigma}{P_r} \right) D^2 W = 0 \quad (\text{rigid}) \quad (26)$$

$$W = D^2 W = D^4 W = 0 \quad (\text{free})$$

ترم $\sigma = \sigma_r + i\sigma_i$ که تابعی بر حسب R_a و P_r است را در نظر بگیرید. اگر $\sigma_r > 0$ جریان برای هر عدد موج a ناپایدار است و اگر $\sigma_r \leq 0$ جریان برای تمام مودها پایدار است. مقدار بحرانی R_{ac} به وسیله $\sigma = 0$ مشخص می‌شود. اکنون معادلات (۲۳) و (۲۴) را برای سه شرط مرزی مختلف حل می‌کنیم.

نتایج و نتیجه گیری

مرزهای آزاد - آزاد

برای تحلیل پایداری و محاسبه مقدار بحرانی R_{ac} ، معادله (۲۴) با $\sigma = 0$ برابر می‌شود:

$$(D^2 - a^2)^3 W = -a^2 R_a W \quad (27)$$

که با توجه به شرایط مرزی (۲۶)، جواب زیر در نظر گرفته می‌شود:

$$W = A \sin(n\pi z) \quad (28)$$

که A یک عدد ثابت و n یک عدد صحیح است. با جایگذاری W در معادله (۲۷) رابطه مشخصه زیر حاصل می‌شود:

$$R_a = (n^2 \pi^2 + a^2)^{\frac{3}{2}} / a^2 \quad (29)$$

با حل عددی معادله فوق، توزیع عدد ریلی R_a بر حسب عدد موج a بدست آمده و در نمودار (۵) ترسیم شده است. مقدار بحرانی عدد ریلی و عدد موج مربوطه در مرجع [۵] برابرند با:

$$a_c = 5.365, \quad R_{ac} = 17610.3 \quad (41)$$

که با نتایج عددی حاصل از این پژوهش $(a_c = 5.399, R_{ac} = 17611.46)$ همخوانی دارد. با توجه به اینکه عدد ریلی بحرانی بدست آمده از جواب زوج، کوچکتر از عدد حاصل از جواب فرد می باشد، بنابراین جواب مورد قبول "جواب زوج" می باشد که منطبق با واقعیت فیزیکی مسئله نیز است.

مرز آزاد- صلب

جواب برای این مورد زمانیکه سطح بالایی آزاد و سطح پایین صلب است، می تواند از جواب فرد مورد صلب- صلب ایجاد شود. مطابق آن جواب فرد برای مرز صلب- صلب در عمق d جوابی برای مرز صلب- آزاد برای عمق $\frac{d}{2}$ به وجود می آورد. بدین وسیله با استفاده از نتایج پایداری از مورد صلب- صلب می توان نتیجه گرفت:

$$a_c = 5.399/2 \approx 2.6995, \quad R_{ac} = 17611.46/2^4 \approx 1100.72 \quad (42)$$

عدد ریلی بحرانی محاسبه شده از مقدارش برای مسئله دو مرز آزاد بیشتر و از مقدار ریلی بحرانی برای مسئله با دو مرز صلب کمتر است.

الگوهای سلولی

مشاهده می شود که در شروع ناپایداری، اختلالاتی که در سیال آشکار می شوند، ناشی از عدد موج مشخصی هستند. با این وجود، الگویی که جابجایی سلولها ارائه خواهد کرد بطور پیچیده ای، غیر مشخص است و این یعنی اینکه برای بردار موج a به بی نهایت روش می توان دو مولفه عمود بر هم تعریف کرد که می توانند با فازها و دامنه های متعددی با هم ترکیب شوند.

بنابراین بعد از اینکه نوع الگوهای سلولی آشکار شدند، می توان جزئیات ساختارهای سلولی را توصیف کرد. در حالت پایداری خنثی، شکل سلولها را می توان چند ضلعی های

جواب زوج

جواب زوج معادله اختلالی برای W به صورت زیر فرض می شود:

$$W = A_0 \cos(q_0 z) + A_1 \cosh(qz) + A^* \cosh(q^* z) \quad (35)$$

که A_0 و A_1 اعداد ثابت حقیقی و A^* عدد موهومی می باشد. با استفاده از شرط مرزی (۳۰) وجواب فوق به معادله ساده شده زیر می رسمیم:

$$-q_0 \tan\left(\frac{1}{2}q_0\right) = \frac{(q_1 + q_2 \sqrt{3}) \sinh q_1}{\cosh q_1 + \cos q_2} + \frac{(q_1 \sqrt{3} - q_2) \sin q_2}{\cosh q_1 + \cos q_2} \quad (36)$$

که در این معادله، q_0, q_1, q_2 مطابق (۳۴) توابعی از a و λ هستند و چون $\lambda = \sqrt[3]{R_a/a^4}$ است، رابطه (۳۶) تابعی از عدد ریلی R_a بر حسب عدد موج a می شود که عبارتی ضمنی است و باید بصورت سعی و خطا حل شود. مقدار بحرانی عدد ریلی (مینیمم) و عدد موج مربوطه در مرجع [۵] برابر

$$a_c = 3.117, \quad R_{ac} = 1707.762 \quad (37)$$

با حل عددی معادله (۳۶)، توزیع عدد ریلی بر حسب عدد موج، بدست آمده و در نمودار (۴) نمایش داده شده است. در حل این معادله بدليل آنکه به ازای هر مقدار از عدد موج چند رشته جواب وجود داشت، از یک حدس اولیه برای یافتن جواب صحیح استفاده شده است. مقادیر بحرانی $a_c = 3.108, R_{ac} = 1707.838$ به خوبی با مقادیر (۳۷) منطبق است.

بر حسب این مقادیر بحرانی، ریشه ها برابر می شوند با

$$q_0 = 3.973639, q_1 = 5.195214, q_2 = 2.126096 \quad (38)$$

و با فرض $A_0 = 1$ و بکارگیری مقادیر q در رابطه (۳۸) جوابهای اختلالی W و θ بدست می آیند.

جواب فرد

جواب فرد به صورت زیر فرض می شود:

$$W = A_0 \sin(q_0 z) + A_1 \sinh(qz) + A^* \sinh(q^* z) \quad (39)$$

با انجام مراحلی مشابه قبل، معادله مشخصه سیستم بصورت زیر بدست می آید:

$$q_0 \cot\left(\frac{1}{2}q_0\right) = \frac{(q_1 + q_2 \sqrt{3}) \sinh q_1}{\cosh q_1 - \cos q_2} - \frac{(q_1 \sqrt{3} - q_2) \sin q_2}{\cosh q_1 - \cos q_2} \quad (40)$$

$$a^2 = 4\pi^2 \left(\frac{1}{L_x^2} + \frac{1}{L_y^2} \right) \quad (49)$$

به کمک معادله (۴۶)، مولفه‌های سرعت در صفحه افقی با روابط زیر حاصل می‌شوند:

$$\begin{aligned} u &= -\frac{DW}{a^2} \frac{2\pi}{L_x} \sin \frac{2\pi}{L_x} x \cos \frac{2\pi}{L_y} y \\ v &= -\frac{DW}{a^2} \frac{2\pi}{L_y} \cos \frac{2\pi}{L_x} x \sin \frac{2\pi}{L_y} y \end{aligned} \quad (50)$$

از مشاهده خطوط جريان در صفحه افقی برای يك سلول مستطيلي با $L_y = \frac{\sqrt{3}L_x}{2}$ و يك سلول مربعی [۵] ملاحظه می‌شود که سرعتها در مرکز سلول صفر هستند و دو گوشه روپرتو همانند چشم و دو گوشه دیگر همانند چاه عمل می‌کنند. سرعت عمودی در مراکز وجوده، حداکثر مقدار خود را دارد و با نزديک شدن به مرکز سلول صفر می‌شود.

(ب) سلولهای شش وجهی

برای الگوی شش وجهی جواب زیر ارائه شده است [۶]:

$$w = \frac{1}{3}W(z) \left\{ 2\cos \frac{2\pi}{L\sqrt{3}} x \cos \frac{2\pi}{3L} y + \cos \frac{4\pi}{3L} y \right\} \quad (51)$$

به کمک معادله (۴۶)، مولفه‌های سرعت در صفحه افقی با روابط زیر داده می‌شوند:

$$\begin{aligned} u &= -\frac{DW}{3a^2} \frac{2\pi}{L\sqrt{3}} \sin \frac{2\pi}{L\sqrt{3}} x \cos \frac{2\pi}{3L} y \\ v &= -\frac{DW}{3a^2} \frac{4\pi}{3L} \left(\cos \frac{2\pi}{L\sqrt{3}} x + 2\cos \frac{2\pi}{3L} y \right) \sin \frac{2\pi}{3L} y \end{aligned} \quad (52)$$

پروفيل مولفه‌های سرعتها برای يك سلول شش وجهی در شروع ناپايداري در شكل های (۷)، (۸)، و (۹) بصورت سه بعدی ترسیم شده اند که با نتایج تصویر دو بعدی مرجع [۵] به خوبی منطبق است.

مراجع

1. Bejan, A., "convection Heat Transfer," 2nd ed., John Wiley & Sons, 1995.
2. Narasimhan, A., "Rayleigh-Benard Convection: Physics of a widespread phenomenon," Resonance, 4(6), p82-90, 1999.
3. Getling, A.V. & Brausch O., "Cellular flow patterns and their evolutionary scenarios in threedimensional Rayleigh-Benard convection," Phys. Rev. E 67, 046313, 2003.

منظم با سطوح متقارن فرض نمود. اين سلولها به شكل مثلث متساوي الاضلاع، مربع و يا شش ضلعی هایی می‌توانند باشند که بطور منظم تکرار شده و دارای دیواره‌های عمودی متقارن بوده که روی دیواره‌های سلول گرادیان سرعت عمودی صفر می‌شود و سرانجام سلولها در مجاور هم بطور يکسان تشکيل می‌شوند.

شرطی که گرادیان سرعت عمودی روی دیواره‌های سلول صفر شود بصورت:

$$(n \cdot \nabla_{\perp}) w = 0 \quad (43)$$

كه n يك بردار واحد قائم به دیواره‌های سلولی است و

$$\nabla_{\perp} = \left(\frac{\partial}{\partial x}, \frac{\partial}{\partial y}, 0 \right) \quad (44)$$

برای مسئله مورد نظر، شرایط معادله (۴۳) معادل آنست که هردو سرعت افقی عمود بر دیواره سلول صفر شوند، يعني:

$$w = F(x, y)W(z), \quad (\nabla_{\perp} F = -a^2 F) \quad (45)$$

و

$$u = \frac{1}{a^2} \frac{\partial^2 w}{\partial x \partial z}, \quad v = \frac{1}{a^2} \frac{\partial^2 w}{\partial y \partial z} \quad (46)$$

بطوري که

$$\nabla_{\perp} w = W \nabla_{\perp} F$$

$$u_{\perp} = \frac{DW}{a^2} \nabla_{\perp} F \quad (47)$$

$$u_{\perp} = \frac{1}{a^2} \frac{DW}{W} \nabla_{\perp} w$$

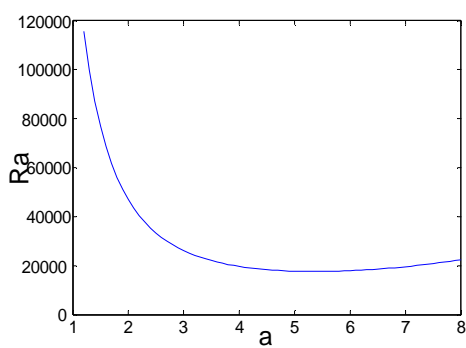
بنابراین صفر شدن $\nabla_{\perp} w$ در امتداد يك جهت مشخص با صفر شدن بردار سرعت افقی u_{\perp} در همان امتداد تضمین می‌شود و برعکس. در زیر، الگوهای سلولی چهار ضلعی و شش ضلعی، بررسی می‌شوند.

(الف) سلولهای مستطيلي و مربعی

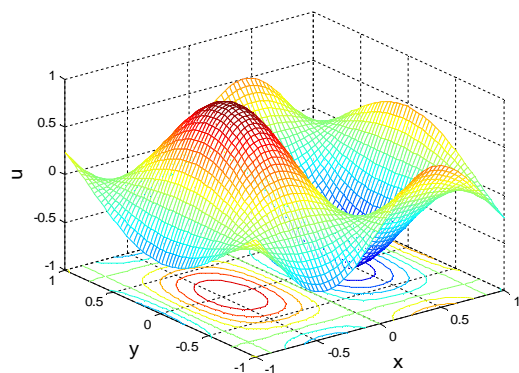
جواب زير را برای مولفه عمودی سرعت در سلول‌ها در نظر بگيريد [۵]:

$$w = W(z) \cos \frac{2\pi}{L_x} x \cos \frac{2\pi}{L_y} y \quad (48)$$

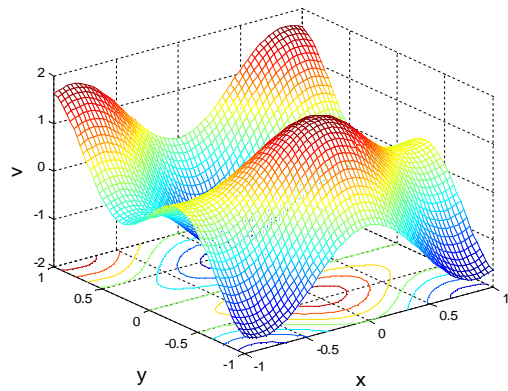
كه L_y و L_x اعداد موج اختلالی در جهت‌های x و y هستند و با رابطه زير به a مرتبط می‌شوند:



شکل ۵ - نمودار عدد ریلی بر حسب عدد موج برای حالت دو مرز صلب (برای اولین مود جواب فرد).

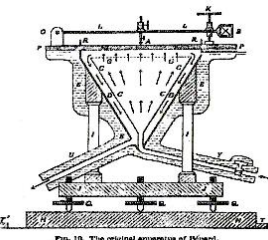


شکل ۷ - توزیع مولفه افقی سرعت u در یک سلوول شش وجهی.

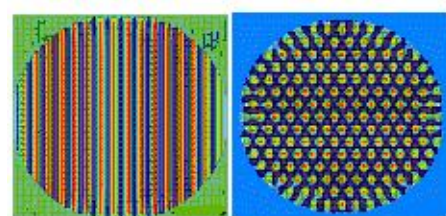


شکل ۸ - توزیع مولفه افقی سرعت v در یک سلوول شش وجهی.

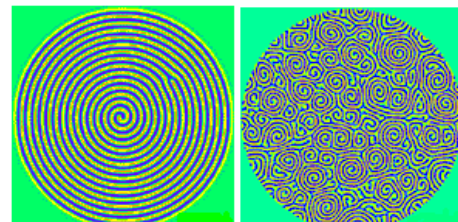
4. Xi, H.W. & Gunton, J.D., "Spiral defect chaos in a model of Rayleigh-Bénard convection," *Phys. Rev. Lett.* 71, p 2030–2033, 1993.
5. Chandrasekhar, S., "Hydrodynamic and Hydromagnetic Stability," Dover Pub., Inc., New York, 1981.
6. Drazin, P.G., "Hydrodynamic Stability," Cambridge University Press, 1981.
7. Xi, H. & Gunton, J.D., "Spatiotemporal Chaos in a Model of Rayleigh-Benard Convection," *Physical Review E*, p 4963-4975, 1995.



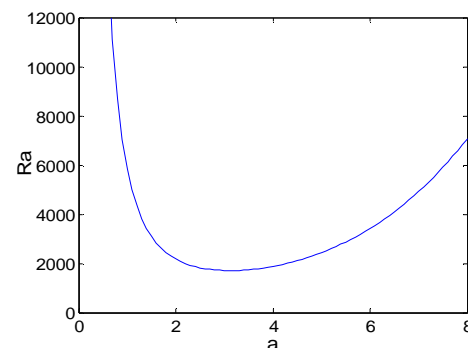
شکل ۱ - دستگاه آزمایش بنارد [۵].



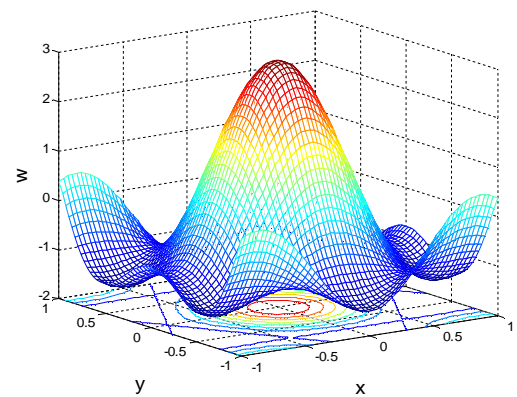
شکل ۲ - الگوهای جابجایی، رولهای موازی (چپ) و شش وجهی (راست) [۲].



شکل ۳ - الگوهای بی نظمی حلزونی [۴].



شکل ۴ - نمودار عدد ریلی بر حسب عدد b_1 بعد موج برای حالت دو مرز صلب (برای اولین مود جواب زوج).



شکل ۹ - توزیع مولفه عمودی سرعت w در یک سلوول شش وجهی.